

ЭМИССИИ ПАРНИКОВЫХ ГАЗОВ В СЛЕДСТВИЕ ПРИРОДНЫХ ПОЖАРОВ В РОССИИ 1998-2010 гг.

А. З. Швиденко^{1,4}, Д. Г. Щепащенко^{1,2}, Е. А. Ваганов^{3,4}, А. И. Сухинин⁴, Ш. Ш. Максютов⁵, И. МакКаллум¹

Природные пожары являются наиболее опасным экзогенным нарушением в лесах России. Особенности климатических изменений последних десятилетий существенно усиливают угрозу возникновения и распространения разрушающих природных, особенно лесных пожаров. Тренд увеличения температуры на территории России в последние десятилетия был значительно выше глобального: соответственно, 0.51 and 0.17 °C / 10 лет в 1976-2008 гг. Хотя в последние годы наблюдается некоторое замедление темпов глобального потепления, рост годовых температур в России продолжается [Росгидромет, 2011]. Среднее количество осадков по стране несколько увеличивается (0.71 мм / мес. / 10 лет в 1976-2010 гг. в сравнении с базовым периодом 1961-1990 гг.), однако для юга Европейской и континентальных районов Азиатской частей России наблюдаемый тренд изменения количества осадков близок к нулю, а сухость климата (измеряется, например, показателями типа индекса суховости засухи Палмерса) значительно возрастает, продолжая тенденции предыдущих десятилетий [Lapen et al., 2005].

Существенно увеличивается изменчивость погоды, выражаясь в чередовании периодов с ливневыми осадками и длительных теплых и сухих периодов, иногда с аномальной жарой, как летом 2010 года в центре Европейской России. Такая специфика создает угрозу возникновения и распространения на большие площади природных, в первую очередь лесных пожаров высокой интенсивности, т.н. катастрофических пожаров [Efremov, Shvidenko, 2004; Сухинин 2010]. Такие пожары приводят к глубинной деградации экосистем и обеднению биоразнообразия, создают особое состояние атмосферы и сезонной погоды на огромных площадях, наносят значительный вред экономике и инфраструктуре, а также крайне негативно влияют на условия жизни и здоровье населения в регионах распространения пожаров. Эта ситуация усугубляется существенным снижением уровня управляемости природными ресурсами в стране, деградацией гражданского самосознания и разрушением профессиональных природоохранительных систем (в частности, практической ликвидацией государственной лесной охраны).

На протяжении последних двух десятилетий катастрофические пожарные ситуации в различных регионах России, как правило, в ее Азиатской части, наблюдаются почти ежегодно с повторяемостью

около 10 лет [Рубцов и др., 2010]. Экологические последствия катастрофических пожаров значительны. По оценкам, единичные или повторяющиеся катастрофические лесные пожары в течение последних лет увеличили в Дальневосточном регионе общую площадь территорий, лишенных леса, на 8 миллионов га. Около трети лесных площадей, пройденных такими пожарами, превращаются в непродуктивные территории, на которых естественное восстановление лесов не происходит в течение 2-3 циклов развития основных лесообразователей (т.е. 300-600 лет) [Efremov, Shvidenko, 2004]. Эта часть представлена в основном болотами (до 70%), мелкими кустарниками и травой (15%), рединами (10%) и каменистыми полями и обнажениями (5%).

Пожарные эмиссии существенно влияют на климатическую систему Земли. Однако опубликованные оценки площадей природных пожаров на территории России и производимых ими эмиссий парниковых газов существенно различаются (напр., [Вивчар и др., 2010; Soja et al., 2004]). Это объясняется различиями в методах оценки и, главное, полнотой и надежностью использованных авторами данных. Официальная статистика ограничена только «лесной площадью, пройденной пожарами» [Росстат, 2010. Доступно также на http://www.gks.ru/bgd/regl/b10_14p/Main.htm], которые ниже фактических площадей природных пожаров в среднем в 5-7 раз.

Современные спутниковые системы, такие как NOAA/AVHRR, Terra/Aqua/MODIS, ENVISAT/MERIS, Terra/ASTER и др., позволяют существенно улучшить наше знание о распространении и интенсивности пожаров, их влиянии на экосистемы и углеродные эмиссии. Однако применение этих методов нетривиально, требует адекватных средств моделирования и знания характеристик растительности подстилающей территории. Цель настоящей работы — представить максимально точную верифицированную оценку площадей и пространственного распространения растительных пожаров на территории России, а также произведенных ими углеродных эмиссий за период 1998-2010 гг., базируясь на системном применении дистанционных методов и количественных оценках основных биофизических характеристик растительного покрова.

Горение биомассы является источником многих парниковых газов (Crutzen et al. 1979, 1985;

¹ Международный институт прикладного системного анализа (Лаксенбург, Австрия)

² Московский государственный университет леса

³ Сибирский федеральный университет (Красноярск)

⁴ Институт леса им. В.Н. Сукачева Сибирского отделения РАН (Красноярск)

⁵ Национальный институт исследований внешней среды (Тсукуба, Япония)

Andrea et al. 1988; Cofer et al., 1989). Мы включили в рассмотрение основные парниковые газы и твердые частицы, главным образом те, которые учитываются Киотским протоколом, в частности CO₂, CO, CH₄, неметановые летучие органические вещества (NMVOC), соединения азота (N₂O, NO_x). Некоторые другие газы с высоким радиационным эффектом [такие как молекулярный азот (N₂), аммоний (NH₃), метил хлорид CH₃Cl, метил бромин (CH₂Br)], некоторые соединения серы (в основном SO₂), твердые частицы (в т.ч. органический и элементный углерод) также были включены в рассмотрение.

Углеродистые частицы (такие как PM_{2.5} и общее количество TPM) в пограничных слоях тропосферы могут как рассеивать, так и поглощать солнечную радиацию. Две формы дымовых аэрозолей, органический углерод (ОС) и элементный углерод (ЕС), являются радиационно активными компонентами; первый из них рассеивает и второй может как рассеивать, так и поглощать радиацию. Оценки глобальных эмиссий ОС и ЕС свидетельствуют, что горение биомассы поставляет в тропосферу значительные количества этих радиационно важных углеродистых частиц: 69 Тг С год⁻¹ для ОС и 19 Тг С год⁻¹ для ЕС [Andrea, 1990].

МАТЕРИАЛ И МЕТОД

Для оценки биометрических характеристик и пространственного распределения наземных экосистем была использована Интегральная земельная информационная система России (ИЗИС), разработанная Международным институтом прикладного системного анализа (Австрия). ИЗИС представлена в виде многослойной геоинформационной системы, включающей гибридный земельный покров (*hybrid land cover*) и соответствующие атрибутивные базы данных. Эта информационная база построена на основе многодатчиковой концепции применения дистанционных методов (использовано 12 продуктов Д33 из 8 спутников), измерений *in situ*, данных различных инвентаризаций и обследований (в т.ч. учет лесного фонда, учет земельного фонда, данные экологического мониторинга и других) и иной целесообразной информации. Классы земельного покрова устанавливались на основе типов растительности, т.е. покрытые лесом земли на торфяных почвах учитывались как лес, а в категорию болот относились только нелесные переувлажненные территории. Параметризация земельного покрова базировалась на принципе последовательного использования наиболее точных данных из доступного множества источников. В тех случаях, когда разрешение спутниковых данных было недостаточно для непосредственной попиксельной параметризации (например, для идентификации преобладающих древесных пород, оценки возраста или количества фитомассы в лесах), использовался алгоритм многомерной оптимизации, обеспечивающий максимальную вероятность пространственной идентификации и точность атрибутов для пространствен-

ных единиц размером порядка 15'x15'. В частности, ИЗИС содержит исчерпывающее описание количества и структуры горючих материалов (всего использовалось 12 типов горючих материалов, в том числе фитомасса деревьев по 7 фракциям; подрост и подлесок; живой напочвенный покров; сухостойная и валежная древесина; органическое вещество подстилки и 1м верхнего слоя минеральной почвы) для каждого 1x1км пикселя по классам земельного покрова. В рамках иерархической классификации наземных экосистем, количество первичных классификационных единиц, для которых проводилась параметризация, колебалось от нескольких сотен (например, для естественных трав и кустарников) до десятков тысяч (для лесов). Более детальное описание структуры ИЗИС и алгоритма оптимизации приведено в [Schepaschenko et al., 2011].

Площади, пройденные пожарами, оценивались за каждый месяц пожароопасного сезона, используя 2, 3, 4 и 5 — каналы радиометра AVHRR со спутника NOAA (США) с использованием модифицированного алгоритма, описанного в [Soja et al., 2004]. Поскольку было установлено, что данные AVHRR завышают площадь пожаров, особенно для пожаров площадью до 10-15 тысяч гектаров, данные измерений корректировались на основе регрессий, разработанных для типичных таежных районов Сибири в Институте леса СО РАН. Распределение по видам пожаров (верховые, беглые низовые, устойчивые низовые и торфяные) оценивались по месяцам пожарного сезона на основе усредненных многолетних данных в пределах географических зон и классов растительности.

Интенсивность пожаров и доля сгораемого органического вещества корректировалась по регрессионным моделям, учитывающим период и продолжительность активного горения, а также по отношению площади пожаров по индивидуальным сезонам к многолетним средним в пределах административных регионов страны. Количество сгоревшей органики DFt (в единицах массы углерода) определялось помесячно для каждого пикселя и месяца t с использованием модифицированной формулы Зейлера и Крутцена [Seiler, Crutzen, 1980] как произведение общей пройденной огнем площади на вероятность типа пожара, количество горючих материалов, долю сгораемой органики и процент содержания углерода в сухой растительной массе.

$$DF_t = \sum_{ilkq} S_{ilkq} (FF)_{ilkq} C_{ijk} \gamma_{ilkq} \quad (1)$$

где S_{ilkq} — оценка площади пожара (га) земельного класса i (т.е. количество соседствующих пикселов с одинаковыми индикаторами) и типа пожара j, $(FF)_{ilkq}$ обозначает количество горючего вещества (т га⁻¹ в абсолютно сухом состоянии) вида k, C_{ijk} есть доля q горючих материалов, сгораемых во время пожара, и γ_{ilkq} — коэффициент для пересчета сухой органической массы в углеродные единицы.

Состав газовых и твердых продуктов горения оценивался при помощи эмиссионных факторов (emission factors), представленных в последней версии базы данных Andrea [Таблица 1, Andrea, Merlet 2001; D'Andrea et al. 2010].

Состав продуктов горения (парниковые газы и частицы) зависит от типа пожара, интенсивности горения, взаимоотношение между фазами горения и т.д. Средняя оценка отношения сгоревшей органики на протяжении фаз активного горения (flaming phase) и тления (smoldering phase)

РЕЗУЛЬТАТЫ И ОБСУЖДЕНИЕ

Общая площадь природных пожаров на территории России в 1998-2010 гг. составила 106.9×10^6 га или в среднем 8.23×10^6 га год-1, варьируя от 4.2 (1999) до 17.3×10^6 га год-1 (2003) (рис.1). Это в 5.9 раз больше, чем средняя годовая площадь пожаров на лесных землях по официальным данным за 2000-2009 гг.— 1.40×10^6 га год-1 [Росстат, 2010]. Хотя некоторый тренд увеличения сгоревших площадей в пределах рассматриваемого периода наблюдается, статистически значимого подтверждения он не имеет.

Таблица 1

СРЕДНИЕ ЭМИССИОННЫЕ ФАКТОРЫ (D'ANDREA 2001, 2010) И ДОЛЯ СГОРЕВШИХ ГОРЮЧИХ МАТЕРИАЛОВ (В ЕДИНИЦАХ УГЛЕРОДА)

Продукты горения	Эмиссионный фактор, г/кг св, по основным классам земельного покрова			Доля от общего количества сгоревших горючих материалов (в единицах углерода)		
	Лес	Травы и кустарники	С.-х. земли	Лес	Травы и кустарники	С.-х. земли
CO ₂	1572±126	1646±99	1308±532	0.857	0.976	0.793
CO	106±36	61±16	92±65	0.091	0.036	0.0876
CO/CO ₂	99±29	59±17	0±0			
CH ₄	4.8±1.8	2.8±0.8	8.4±8.0	0.0072	0.0036	0.014
NMHC	5.7±4.1	3.4±1.0	9.9±7.7	0.0057	0.0037	0.011
NOx	3.41±1.92	2.12±1.17	2.29±0.93			
N ₂ O	0.26±0.07	0.21±0.10	0.10±0.09			
NH ₃	1.63±1.26	0.74±0.55	1.62±0.49			
CH ₃ Cl	0.050±0.032	0.064±0.026	0.213±0.110			
CH ₃ Br	0.032±0.0012	0.0017±0.0009	0.003±н.д.			
OC	9.1±9.2	3.2±3.1	4.2±3.3	0.0091	0.0035	0.0047
BC	0.56±0.19	0.46±0.17	0.42±0.30	0.0011	0.0010	0.0008
TC	8.3±8.2	3.7±1.3	6.2±н.д.	0.0149	0.0074	0.0104
PM _{2.5}	12.8±6.7	4.9±1.5	8.3±6.2	0.0128	0.0053	0.0092
TPM	17.6±6.4	8.5±3.0	12.4±11.4	0.0176	0.0092	0.0138
SO ₂	2.64±н.д.	0.37±0.15	0.40±н.д.			

в среднем составила 60:40% при беглых низовых пожарах, 50:50% при верховых пожарах, 40:60% при устойчивых низовых и 15:85% при торфяных пожарах.

Как правило, 90-95% площадей, пройденных пожарами, находится в Азиатской части России, главным образом в ее южной половине. Исключением является 2010 год, когда беспрецедентная засуха и температурные аномалии вызвали катастрофическую вспышку пожаров в центральных областях Европейской части России (рис. 2). Больше половины (59.3%) сгоревших площадей находится на покрытых лесом землях, а вместе с рединами и поврежденными лесами (в основном, старые гари и леса, поврежденные насекомыми)— практически две трети (65.1%). Значительная часть пожаров наблюдается на сельскохозяйственных землях, как правило, вследствие различного рода профилактических выжиганий (18.9% общей площади). Пожары в естественных травяных и кустарниковых экосистемах составляют 8.7% и на болотах— 7.3% от общей

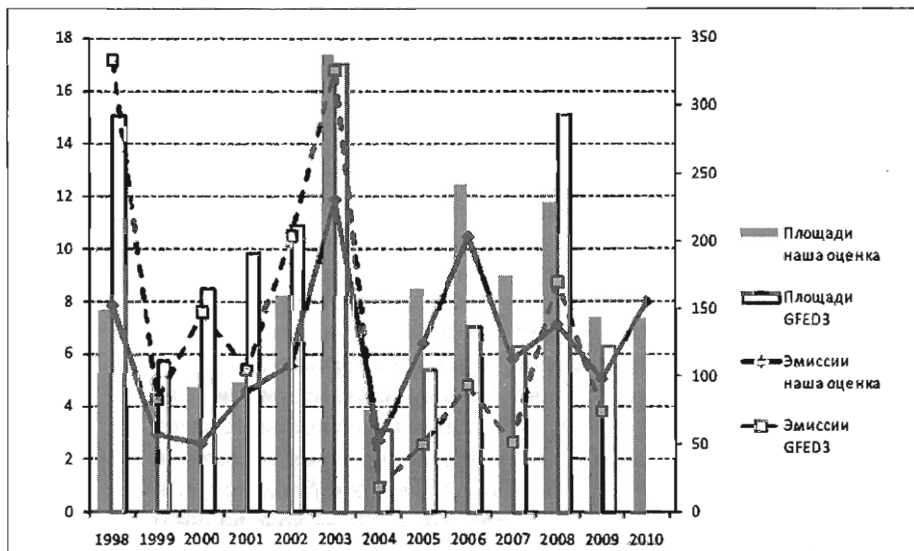


Рис. 1. Площади природных пожаров и пожарные эмиссии углерода на территории России в 1998-2010 гг.

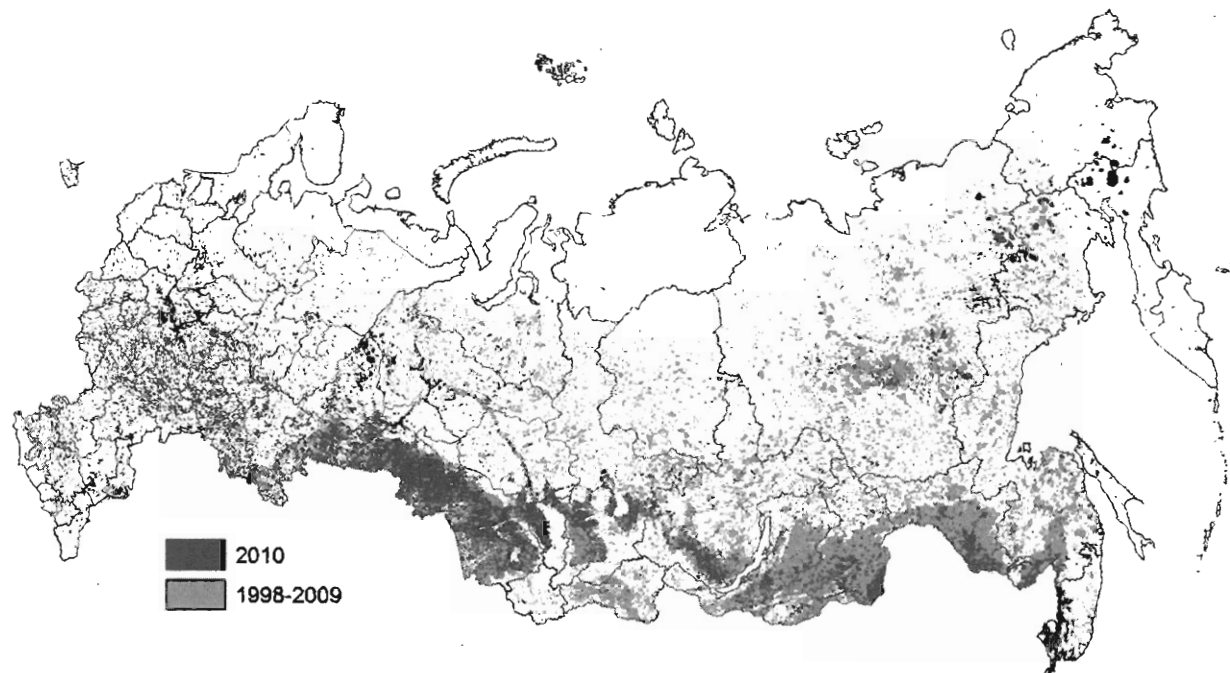


Рис. 2. Площади природных пожаров и пожарные эмиссии углерода на территории России в 1998-2010 гг.

площади, пройденной пожарами. В сезонном распределении площадей пожаров отчетливо выделяется два типа — весенний и позднелетний. Первому свойственен пик распространения пожаров весной, через некоторое короткое время после схода снежного покрова и до зеленения растительности. Второй тип имеет приближенно равномерное распределение площадей, иногда с усилением к концу пожароопасного сезона, являясь следствием аномально засушливых весны и лета. Для таких сезонов (1998, 2003, 2008, 2010 гг.) характерно значительное увеличение площадей верховых и устойчивых низовых пожаров, распространение огня в обычно негорючие болота и повышенный уровень эмиссий парниковых газов, в частности метана и оксида углерода за счет глубокого почвенного горения.

Количество органического вещества, сгоревшего в пожарах 1998-2010 гг., оценено в 1.57×10^9 т углерода, или в среднем 121.0 Тг (= 106 т) С год-1. Пожарные эмиссии составили около 2.4% чистой

первичной продукции экосистем, что практически совпадает со средней глобальной оценкой (2.5%, [Van Der Werf et al., 2010]). Как и в части площадей, межгодовая изменчивость этой величины высока — от 50 (2000 г.) до 231 Тг С год-1 (2003 г.), причем здесь влияние типа пожарного сезона и географической локализации пожаров существенно. Так, при среднем удельном потреблении углерода в 1998-2010 гг. (на всех категориях земельного покрова) в 1.47 кг С м-2 год-1, максимальное значение отмечено для 2010 года (2.12 кг С м-2 год-1), когда площадь, пройденная пожарами за сезон, была несколько ниже многолетней средней. Основную часть углеродных эмиссий поставляют лесные пожары (включая редины) — 76.0% от общего количества; на втором месте — пожары на болотах (15.8%), на которых средние удельные эмиссии наивысшие (3.06 кг С м-2 год-1), а при устойчивых торфяных пожарах могут превышать это значение в десятки раз.

Таблица 2

ПОЖАРНЫЕ ЭМИССИИ ПО ВИДАМ ВЕЩЕСТВ, СОДЕРЖАЩИХ УГЛЕРОД

Тип растительности	Площадь, тыс. га	Эмиссии, тыс. т С	включая основные углеродистые вещества, тыс. т С							
			CO ₂	CO	CH ₄	NMHC	ОС	BC	PM _{2.5}	TPM
Леса	4886	82036	68820	6920	836	599	835	82	878	1285
Пахотные земли	402	606	524	47	7	6	3	1	5	8
Сенокосы и пастбища	819	1,711	1,482	131	19	16	9	2	14	22
Залежи и заброшенные с/х земли	333	700	610	51	7	6	3	1	5	9
Болота	602	18425	15970	1369	251	108	109	18	126	200
Редины	261	6244	5148	593	81	43	61	6	73	105
Поврежденные леса	203	3688	3109	295	34	28	39	4	39	57
Травы и кустарники	720	7566	6665	488	83	42	44	8	49	80
Всего	8226	120976	102328	9894	1318	847	1103	121	1190	1765

**ОЦЕНКА ПЛОЩАДЕЙ ПОЖАРОВ И ЭМИССИЙ УГЛЕРОДА ПО ДАННЫМ РАЗЛИЧНЫХ АВТОРОВ
ДЛЯ ТЕРРИТОРИИ РОССИИ**

Период	Площадь пожаров, млн. га		Эмиссии углерода, Тг С год ⁻¹	Ссылка на источник	Примечания
	всего	в лесах			
1960-2000	4.1	2.79	62.5	Schultz et al., 2008	Площадь гарей варьирует от 1.13 до 15.0 млн. га в год, эмиссии – 16-292 Тг С
1971-1991	12.1		194	Conard, Ivanova, 1997	
1998	13.3		135-190	Conard et al., 2002	
1998	13.1		290-383	Kasischke, Bruhwiler, 2003	Пределы оценок даны для разных допущений
1998	10.1		185.5	Kajii et al., 2002	
1998-2002	7-11		116-520	Soja et al., 2004	Пределы оценок даны для разных допущений
2000	22.4			Tansey et al. 2004	
2000-2003			85-210	Kasischke et al., 2005	Оценка для Сибири
2001	5.155	3.851	39.3-55.4 ^a	Zhang et al., 2003	
2003-2007		3.875 ^b	44.3 (13.9-127.1)	Ершов и др., 2009	
2000-2007		1.4	12.0 ^c	Заварзин, 2007	Данные для управляемых земель лесного фонда
2000-2008	19.7	6.8		Vivchar 2011	Леса с полнотой ≥ 0.6

^{a,b,c}столько в лесах

Средний состав продуктов горения за оцениваемый период составил: С-CO₂ 84.6% (от общего количества углерода в сгоревших материалах), С-CO — 8.2%, С-CH₄ — 1.1%, С-NMHC (неметановые углеводороды) — 1.2%, органический углерод — 1.2% и элементный углерод (black carbon) — 0.1%. Твердые частицы составили 3.5%, из которых PM2.5 1.2%. Самое высокое содержания CH₄ и CO в продуктах горения отмечено в экосистемах с наличием торфа.

Приведенные данные относятся к прямым пожарным эмиссиям. Существенные послепожарные эмиссии наблюдаются в лесах вследствие гибели значительного количества деревьев, особенно после верховых и торфяных пожаров, а также устойчивых низовых пожаров на вечной мерзлоте. Наши оценки показывают, что в среднем для всех видов лесных пожаров послепожарный отпад составляет около трети запаса древесины до пожара, а годовые эмиссии вследствие разложения накопленной мертвой древесины составляют величину, несколько превышающую размер прямых эмиссий. В итоге, растительные пожары последнего десятилетия являлись источником углеродных эмиссий порядка 250 Тг С год⁻¹, что составляет около 50% промышленных углеродных эмиссий страны.

Различные авторы публиковали различные оценки, как по площадям пожаров, так и по эмиссиям (таблица 3). Как правило, оценка погрешностей либо не приводилась, либо указывался некий диапазон возможных результатов в зависимости от принятых предпосылок. В принципе, оценка неопределенности полученных результатов требует учета нечеткого (fuzzy) характера рассматриваемой задачи. Используя методы, описанные в

[Shvidenko et al., 2010], мы оценили погрешности в оценке годовой площади пожаров $\pm 9\%$, а прямых углеродных эмиссий $\pm 23\%$ (доверительный интервал 0.9). В среднем за рассматриваемый период, наш результат достаточно близок к данным глобальной базы пожарных эмиссий (GFED3) [Van Der Werf et al., 2010], которая оценила среднюю площадь пожаров на территории России в 9.17 х 106 га год⁻¹ (+11.5% к нашей оценке), а эмиссии 137 Тг С год⁻¹ (+13.2%). Следует учесть, что в глобальной базе площади определены на основе различных спутниковых датчиков, а эмиссии — по модели CASA [Van Der Werf et al., 2010] в отличие от последовательно эмпирического подхода, реализованного в этом сообщении. С высокой вероятностью можно утверждать, что средняя величина прямых пожарных эмиссий углерода на территории России в течение последнего десятилетия составила 120-140 миллионов тонн в год.

Средние годовые величины основных видов азотных эмиссий составили 899 Мг год⁻¹ для NO_x (из них 58% от пожаров в лесах и 30% — на болотах), 67 Мг год⁻¹ для N₂O (соответственно 60% от лесных пожаров и 27% — на болотах) и 406 Мг год⁻¹ для NH₃ (61% и 26%, соответственно).

Современные модельные представления о будущих пожарных режимах в boreальной зоне предполагают удвоение числа пожаров к концу нынешнего века, возрастание количества катастрофических пожаров и пожаров, охватывающих большие территории и выходящих из-под контроля, существенное увеличение интенсивности пожаров, возрастание количества и изменения газового состава пожарных эмиссий вследствие усиления почвенного горения (напр. [Flannigan et al., 2009]).

Все четче проявляется связь между катастрофическими пожарами и масштабными климатическими аномалиями (2003 год — пожары на российском Дальнем Востоке и наводнение в Китае, 2010 год — пожары в Европейской части России и наводнения в Пакистане и Индии). Весьма вероятно, значительное увеличение отпада в бореальных лесах, таяние вечной мерзлоты и последующая аридизация ландшафтов на многолетней мерзлоте будут вести к повышенному отпаду деревьев в лесах, деградации и гибели хвойных лесов, а также к широкому распространению «зеленого опустынивания» [Efremov, Shvidenko, 2004]. Процессы необратимого замещения леса иными типами растительности уже отмечены в ряде южных экотонов лесной зоны [Буряк и др., 2009; Евдокименко, 2009].

Для территории России и вечномерзлотных территорий особо высока вероятность существенной обратной связи между потеплением и эскалацией пожарных режимов: увеличение концентрации CO₂ в атмосфере приводит к увеличению длительных и сухих периодов, которые способствуют росту площади и интенсивности пожаров и существенному увеличению эмиссий парниковых газов. В свою очередь, рост углеродных эмиссий ведет к дестабилизации климатической системы, что провоцирует усиление угрозы пожаров.

Природные, особенно лесные пожары уже стали проблемой высшего приоритета ряда стран. Сегодня лесоохраные службы развитых стран северного полушария балансируют в узком диа-

пазоне между удовлетворительной охраной лесов от пожаров и крупными потерями в годы высокой пожарной опасности. Пожары 2010 года в Европейской части России четко продемонстрировали те угрозы, которые создают растительные пожары в условиях меняющегося климата. Для территории страны, леса которой на 90% представленной бореальными лесами высокой пожарной опасности, следует ожидать непропорционально большую эскалацию пожарных режимов в сравнении с усилением климатической пожарной опасности. Поэтому коренное усовершенствование системы охраны лесов от пожаров является неотложной государственной задачей сегодняшнего дня. Эта комплексная проблема включает (1) системный анализ нынешних и будущих региональных пожарных режимов и требований к рациональной системы охраны лесов от пожаров; (2) разработку новой доктрины охраны лесов от пожаров; (3) разработку и внедрение стратегии предотвращения широкомасштабных нарушений в лесах, в т.ч. адаптацию структуры лесных ландшафтов к будущему климату; (4) внедрение эффективной системы лесного мониторинга; (5) выделение необходимых ресурсов; (6) разработку нового/ усовершенствование существующего законодательства и институциональных структур лесоуправления, ориентированных на вызовы меняющегося климата; (7) целесообразную международную кооперацию. В настоящее время эффективная реализация всех перечисленных выше задач остается делом будущего.

СПИСОК ЛИТЕРАТУРЫ

1. Буряк Л. В., Сухинин А. И., Москальченко С. А. Влияние пожаров на лесовозобновление в условиях Нижнего Приангарья // Лесоведение. 2009. № 5. С. 17-23.
2. Вивчар А. В., Моисеенко К. Б., Панкратова Н. В. Оценки эмиссий оксида углерода от природных пожаров в Северной Евразии в приложении к задачам регионального атмосферного переноса и климата // Известия РАН. Физика атмосферы и океана. 2010. № 46 (3). С. 307-320.
3. Евдокименко М. Д. Пирогенная дигрессия лиственничников Забайкалья и Северной Монголии // ИВУЗ Лесной журнал. 2009. № 4. С. 12-18.
4. Ершов Д.В., Ковганко К.А., Сочилова Е.Н. ГИС-технология оценки пирогенных эмиссий углерода по данным Terra-MODIS и государственного учета лесов // Современные проблемы дистанционного зондирования Земли из космоса: Физические основы, методы и технологии мониторинга окружающей среды, потенциально опасных явлений и объектов. Сборник научных статей. Вып. б. Т. II. М.: ООО «Азбука-2000», 2009. С. 365-372.
5. Заварзин ГА (ред.) Пулы и потоки углерода в наземных экосистемах России, Наука, МЖ: 2007, 315 с.
6. Росгидромет РФ. Доклад об особенностях климата на территории Российской Федерации за 2010 год. М.: Федеральная служба по гидрометеорологии и мониторингу окружающей среды. 2011. 66 с.
7. Росстат РФ. Регионы России. Социально-экономические показатели 2010. Статистический сборник. М.: Федеральная служба государственной статистики. 2010. 1000 с.

8. Рубцов А.В., Сухинин А.И., Ваганов Е.А. Классификация территории Сибири по фактической горимости с использованием спутниковых данных // Журнал сибирского федерального университета. Биология. 2010. № 1. С. 30-39.
9. Andreae M. O., Merlet P. Emission of trace gases and aerosols from biomass burning // Global Biogeochemical Cycles. 2001. № 15. С. 955-966.
10. Conard S.G., Ivanova G.A. Wildfire in Russian boreal forests—potential impacts of fire regime characteristics on emissions and global carbon balance estimates Environmental Pollution, 1997, 98(3). pp. 305–313.
11. Conard S.G., Sukhinin A.I., Stocks B.J. et al. Determining effects of area burned and fire severity on carbon cycling and emissions in Siberia Climatic Change, 2002. V.55(1-2). Pp. 197–211.
12. D'Andrea M., Fiorucci P., Holmes T. P. A stochastic Forest Fire Model for future land cover scenarios assessment // Natural Hazards and Earth System Science. 2010. № 10. С. 2161-2167.
13. Efremov D. F., Shvidenko A. Z. Long-term environmental impact of catastrophic forest fires in Russia's Far East and their contribution to global processes // International Forest Fire News 2004. № 32. С. 43-49.
14. Flannigan M.D., Stocks B.J., Turetsky M.R., Wotton, B.M. Impact of climate change on fire activity and fire management in the circumboreal forest // Global Change Biology. 2009. № 15. С. 549-560.
15. Kajii, Y., Kato, S., Streets, D.G., Tsai, N.Y., Shvidenko, A., Nilsson, S., McCallum, I., Minko, N.P., Abushenko, N., Altyntsev, D. & Khodzer, T.V., 2002. Boreal forest fires in Siberia in 1998: Estimation of area burned and emissions of pollutants by advanced very high resolution radiometer satellite data. Journal of Geophysical Research D: Atmospheres, 107.
16. Kasischke E.S., Bruhwiler L.P. Emissions of carbon dioxide, carbon monoxide, and methane from boreal forest fires in 1998. Journal of Geophysical Research, 2003. 107, 8146, doi:10.1029/2001JD000461.
17. Kasischke, E.S., Hyer, E.J., Novelli, P.C., Bruhwiler, L.P., French, N.H.F., Sukhinin, A.I., Hewson, J.H. & Stocks, B.J., 2005. Influences of boreal fire emissions on Northern Hemisphere atmospheric carbon and carbon monoxide. Global Biogeochemical Cycles, 19, 1-16.
18. Lapenit A., Shvidenko A., Shepaschenko D., Aiyyer A. Acclimation of Russian forests to recent changes in climate // Global Change Biology. 2005. № 11. С. 2090-2102.
19. Schepaschenko D., McCallum I., Shvidenko A., et al. A new hybrid land cover dataset for Russia: a methodology for integrating statistics, remote sensing and in situ information // Journal of Land Use Science. 2010. № 6(4).
20. Schultz M.G., Heil A., Hoelzemann J.J. et al. Global wildland fire emissions from 1960 to 2000, Global Biogeochemical cycles, 2008. Vol. 22, GB2002, doi:10.1029/2007GB003031.
21. Seiler W., Crutzen P. J. Estimates of gross and net fluxes of carbon between the biosphere and the atmosphere from biomass burning // Climatic Change. 1980. № 2. С. 207-247.
22. Shvidenko A., Schepaschenko D., McCallum I., Nilsson S. Can the uncertainty of full carbon accounting of forest ecosystems be made acceptable to policymakers? // Climatic Change. 2010. № 103. С. 137-157.
23. Soja A. J., Cofer W. R., Shugart H. H., et al. Estimating fire emissions and disparities in boreal Siberia (1998-2002) // Journal of Geophysical Research D: Atmospheres. 2004. № 109. D14S06.
24. Tansey K., Gregoire J.-M., Stroppiana D., et al. Vegetation burning in the year 2000: Global burned area estimates from SPOT VEGETATION data // Journal of Geophysical Research. 2004. 109, D14503. doi:10.1029/2003JD003598.
25. Van Der Werf G. R., Randerson J. T., Giglio L., et al. Global fire emissions and the contribution of deforestation, savanna, forest, agricultural, and peat fires (1997–2009) // Atmospheric Chemistry and Physics. 2010. № 10. С. 11707-11735.
26. Vivchar A. Wildfires in Russia in 2000-2008: estimates of burnt areas using the satellite MODIS MCD45 data // Remote Sensing letters. 2011. № 2(1). С. 81-90.
27. Zhang Y.-H. Monthly burned area and forest fire carbon emission estimates for the Russian Federation from SPOT VGT / Y.-H. Zhang et al. // Remote Sensing of Environment. 2003. - Vol. 87. – P. 1-15.